

LANCE

Servicio Clima Espacial

Reporte Semanal



Reporte semanal: del 6 al 12 de diciembre de 2019

CONDICIONES DEL SOL

Regiones activas: 0;

Hoyos coronales: 3. Dos hoyos coronales en los polos y otros sobre el disco.

Fulguraciones solares: 0

Eyecciones de masa coronal: 1. Erupción de un filamento al frente del disco solar

CONDICIONES DEL MEDIO INTERPLANETARIO

Se registró una región de interacción. El viento solar rápido provino de un hoyo coronal localizado a latitudes medias.

CONDICIONES DE MAGNETÓSFERA

Índice K local: No se registraron tormentas geomagnéticas.

Índice Dst: no se presentaron perturbaciones.

CONDICIONES DE LA IONOSFERA

No se registraron perturbaciones significativas.

Reporte semanal: del 13 al 19 de diciembre de 2019

PRONÓSTICOS

Viento solar: Ambiente solar terrestre dominado por corrientes de viento solar promedio con velocidades entre 350-500 km/s. No se pronóstica el arribo de ninguna EMC.

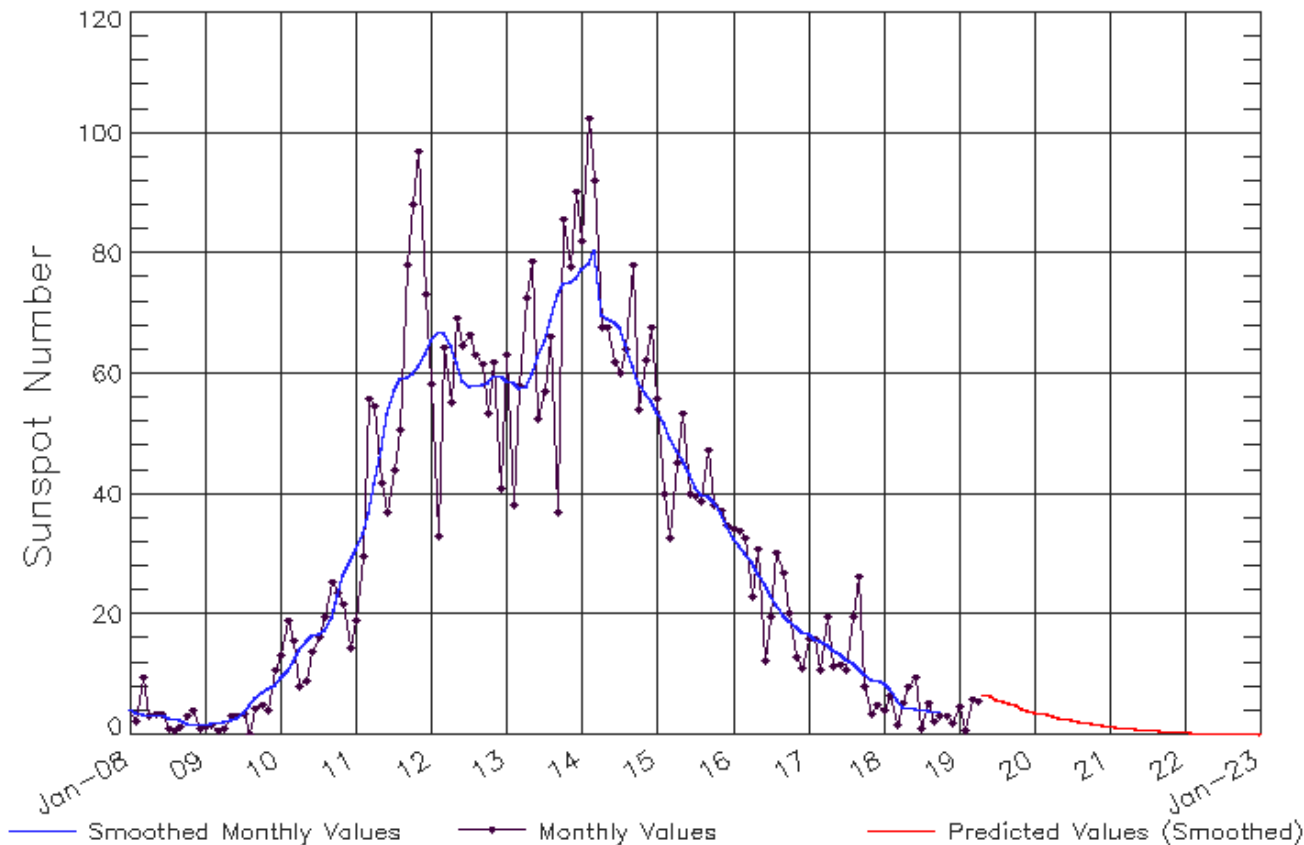
Fulguraciones solares: No se esperan fulguraciones.

Tormentas geomagnéticas: baja probabilidad de tormentas geomagnéticas.

Tormentas de radiación solar: Baja probabilidad de tormentas.

Ciclo de manchas solares y la actividad solar

ISES Solar Cycle Sunspot Number Progression
Observed data through Apr 2019



Updated 2019 May 6

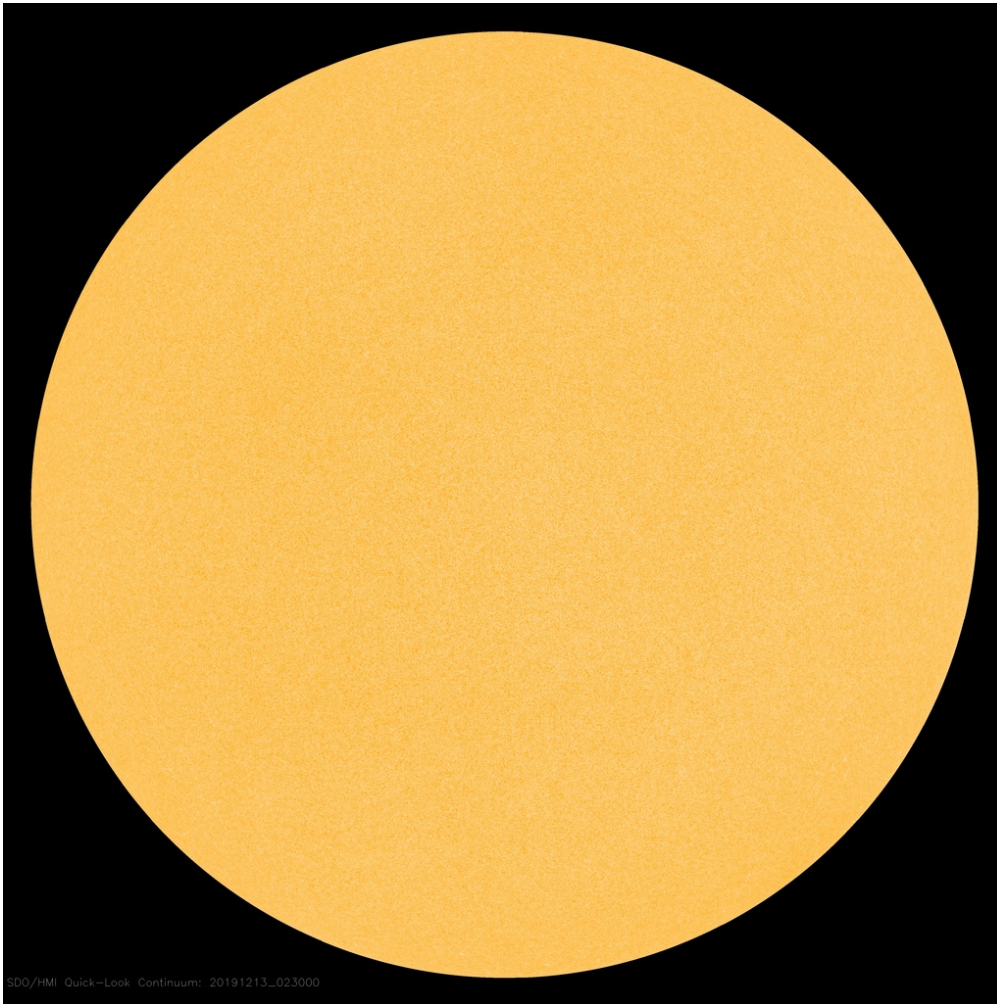
NOAA/SWPC Boulder, CO USA

<http://www.swpc.noaa.gov/products/solar-cycle-progression>

La figura muestra el conteo del número de manchas solares desde enero del 2000.

Entre más manchas solares presente el Sol, es mayor la posibilidad de que ocurra una tormenta solar.

Estamos acercándonos al mínimo de manchas solares del ciclo 24.

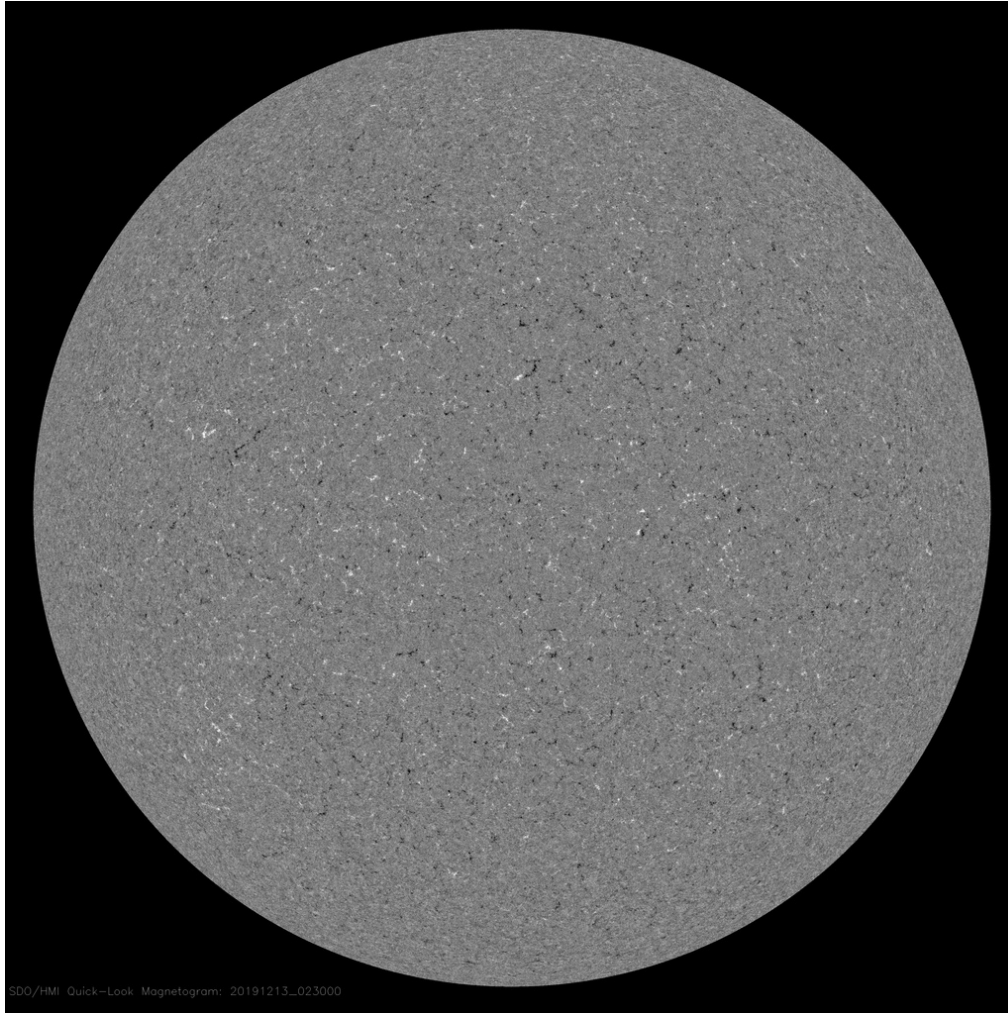


<http://sdo.gsfc.nasa.gov/>

La fotosfera es la zona “superficial” del Sol, donde aparecen las manchas solares. Regiones oscuras formadas por material más frío que sus alrededores y que contienen intensos campos magnéticos. Las manchas solares están relacionadas con la actividad solar.

El Sol hoy:

No muestra ninguna mancha sobre su superficie.



SDO/HMI Quick-Look Magnetogram: 20191213_023000

<http://sdo.gsfc.nasa.gov/>

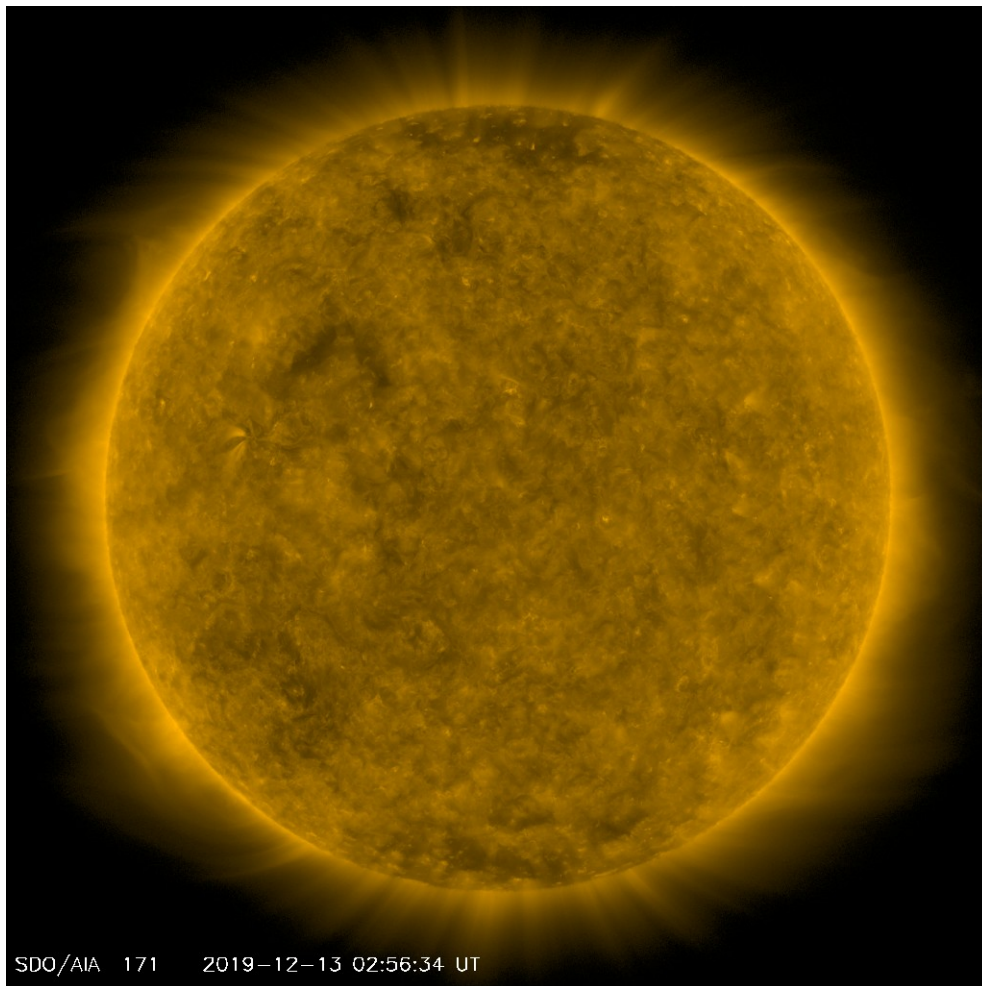
Un magnetograma solar permite identificar las regiones de intensos campos magnéticos solares. En general, estos campos magnéticos están asociados a manchas solares.

Las regiones de color blanco (negro) son zonas por donde surgen (sumergen) líneas de campo magnético, correspondientes a polaridad positiva (negativa).

El Sol hoy:

No muestra regiones de campo magnético intenso.

Atmósfera solar y regiones activas



SDO/AIA 171 2019-12-13 02:56:34 UT

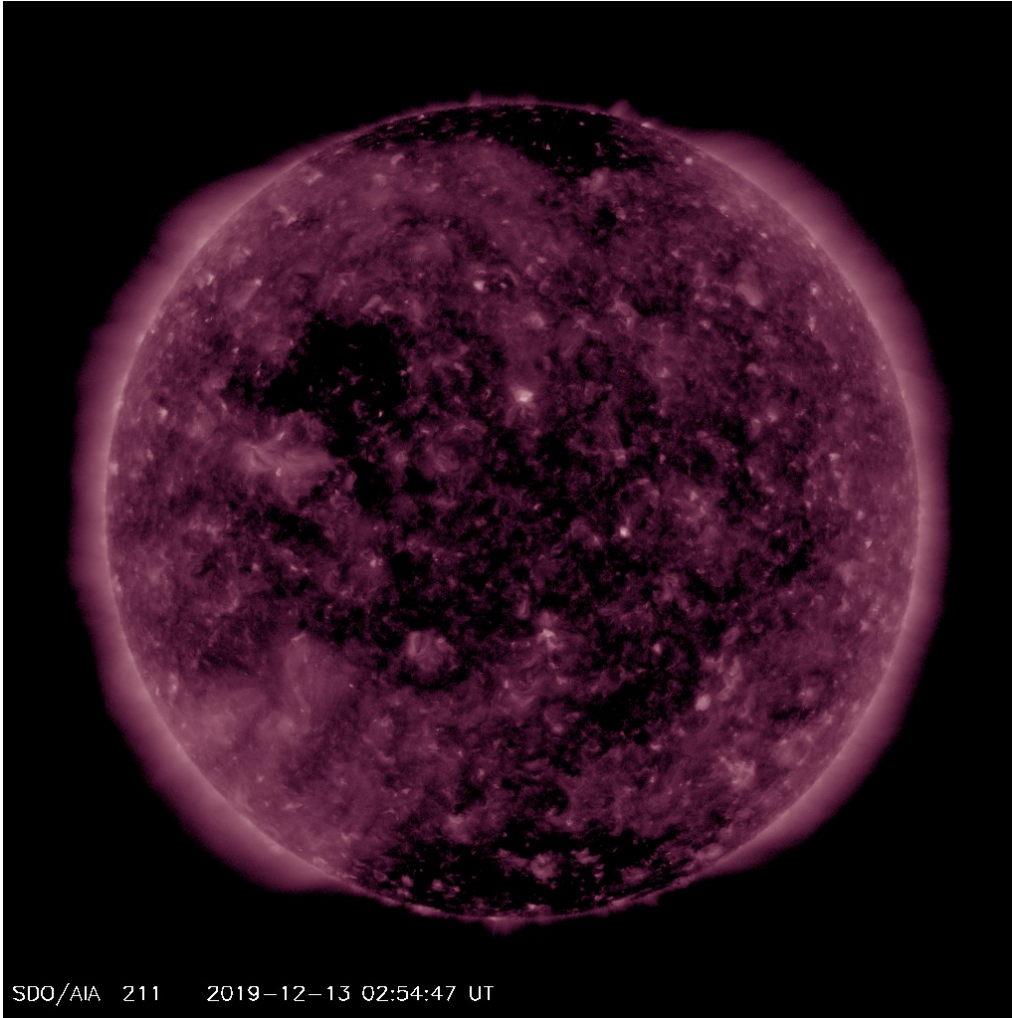
<http://sdo.gsfc.nasa.gov/>

El Sol en rayos X suaves (171 Å). La emisión de Fe IX y X revela la estructura magnética en la región de la atmósfera solar llamada corona solar que se encuentra a 630,000 K.

Las regiones activas (zonas claras) son los lugares donde se presentan los fenómenos de actividad solar más importantes. Las regiones activas están regularmente asociadas a las manchas solares.

El Sol hoy:

No muestra regiones activas.



SDO/AIA 211 2019-12-13 02:54:47 UT

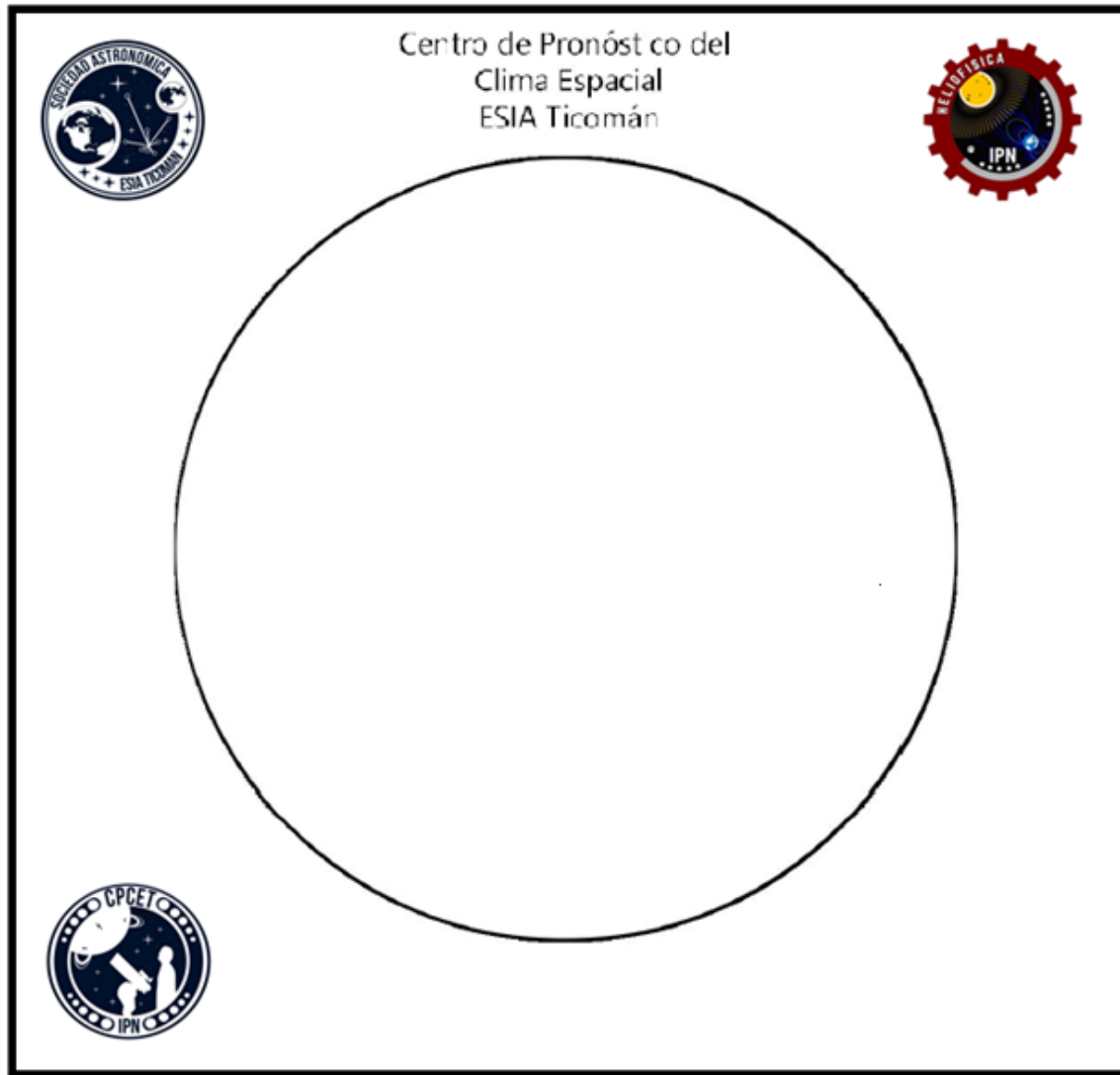
<http://sdo.gsfc.nasa.gov/>

El Sol en rayos X suaves (211 Å). La emisión de Fe XIV revela la estructura magnética en la alta corona que se encuentra a 2,000,000 K.

Los hoyos coronales (regiones oscuras) son regiones de campo magnético solar localmente abierto. Los hoyos coronales son fuente de las corrientes de viento solar rápido.

El Sol hoy:

Muestra hoyos coronales de gran extensión en los polos y otros menores sobre el disco.



El número de Wolf es un valor que permite evaluar numéricamente la actividad solar mediante el conteo de manchas solares ubicadas sobre la superficie del Sol. Este se calcula a partir de la fórmula desarrollada por Rudolf Wolf en 1849:

$$W=k(10*G+F)$$

Donde:

K= Es un factor de corrección que depende de cada observatorio.

F= Cantidad total de manchas solares visibles sobre el disco solar.

G= Cantidad de grupos manchas solares visibles sobre el disco solar.

Número de Wolf promedio esta semana: **0**

Actividad solar: **BAJA**

Actividad solar: Fulguraciones solares

Flujo de rayos X solares detectado por los satélites GOES.

Esta semana no se registró actividad solar significativa.

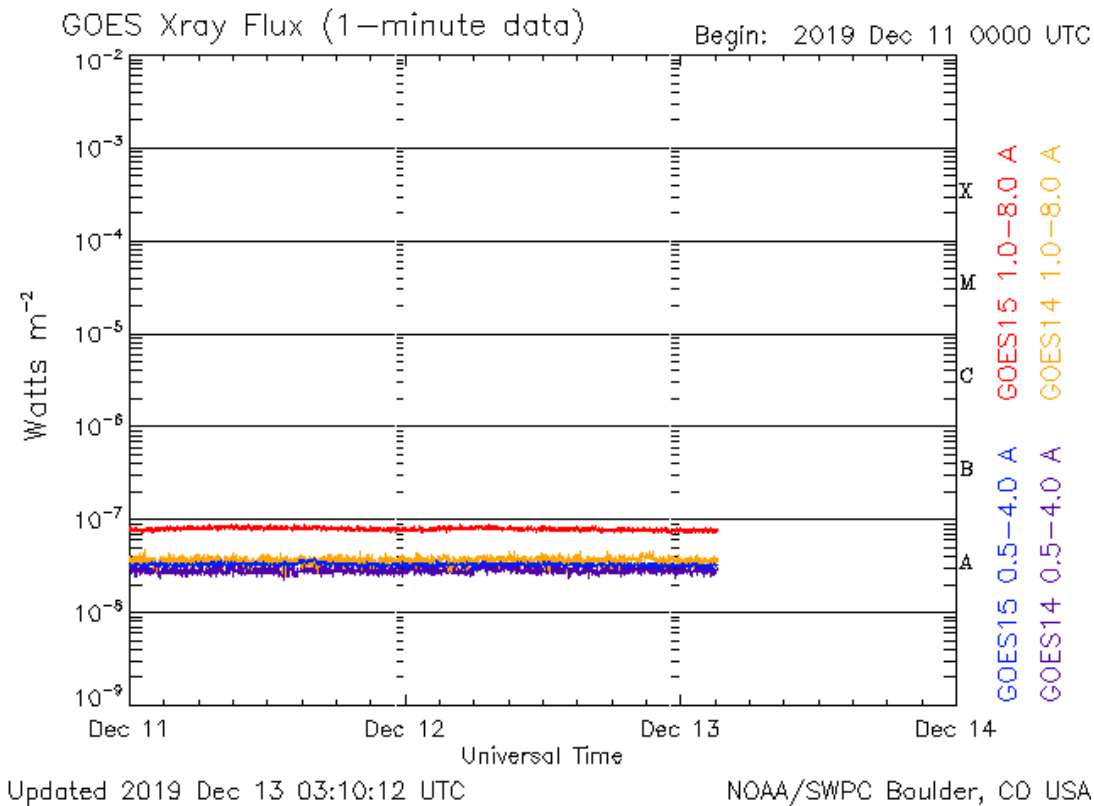


Imagen: <http://services.swpc.noaa.gov/images/goes-xray-flux.gif>

Medio interplanetario: Región de interacción de viento solar

Del 6 al 12 de diciembre se registró una región de interacción (área sombreada en imagen 2). El origen del viento solar rápido es un hoyo coronal localizado a latitudes medias de polaridad negativa (imagen 1). Dicha región no generó tormenta geomagnética.

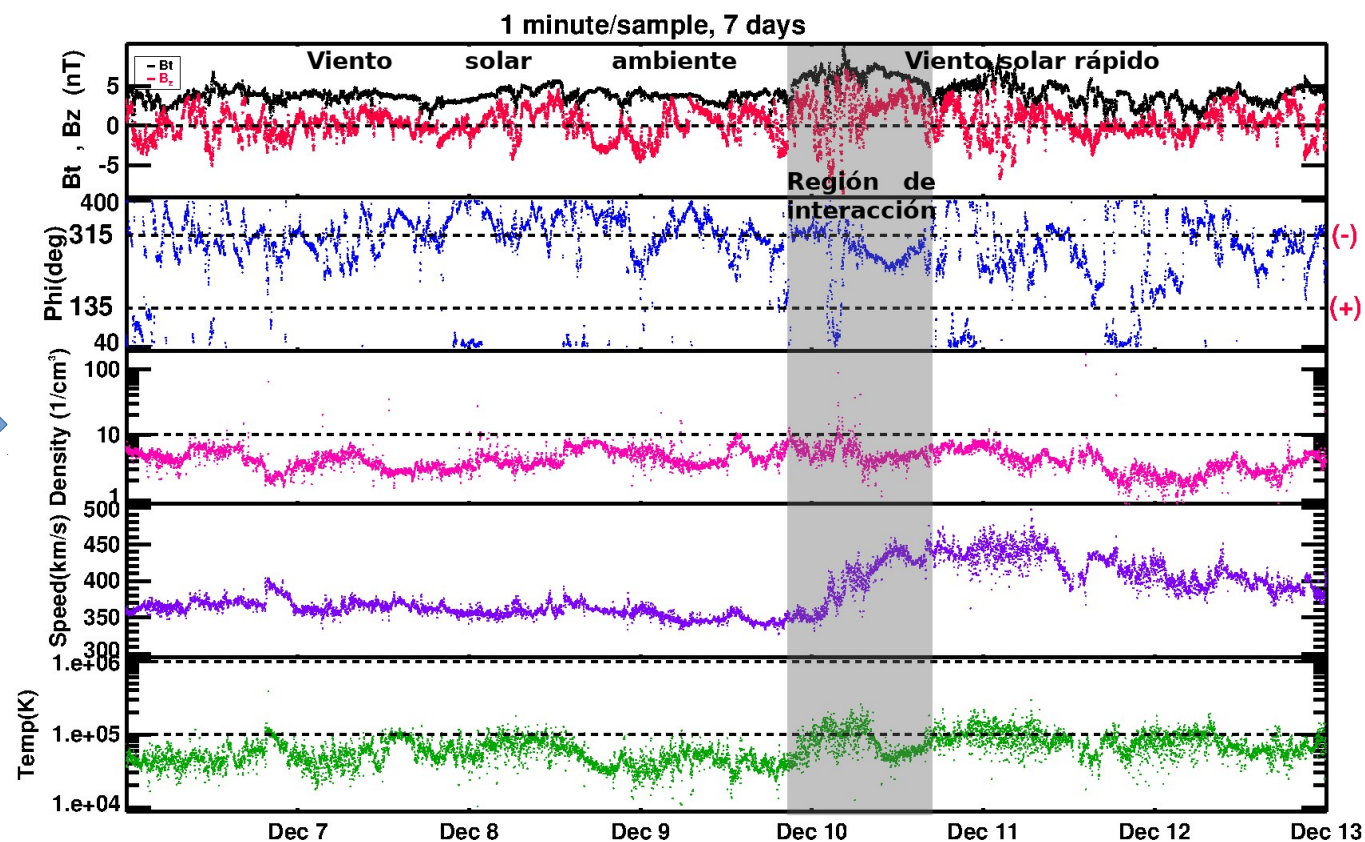
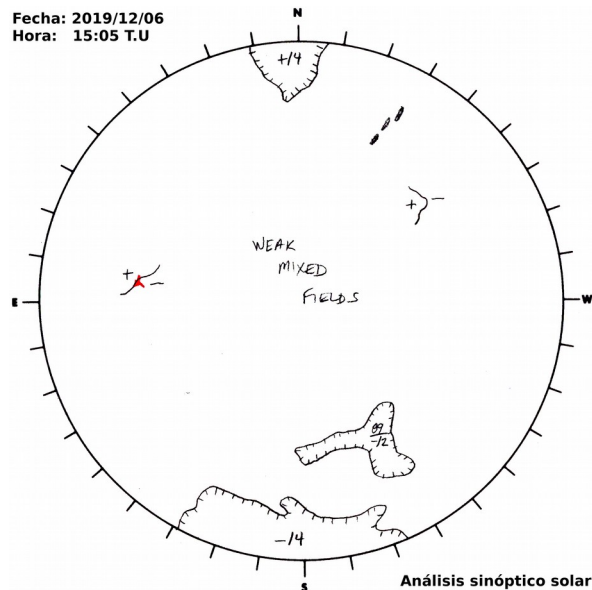


Imagen 1: ftp://ftp.swpc.noaa.gov/pub/synoptic_maps/

Imagen 2: <http://www.swpc.noaa.gov/products/real-time-solar-wind>

Eyecciones de Masa Coronal (EMCs): **LANC**

observación de coronógrafos

Servicio Clima Espacial

>> Diciembre 10, 3:12 h

- EMC lenta tipo “cuerda magnética” observada por SOHO/LASCO C2 y C3.
- Erupción asociada a la erupción de filamento al frente del disco solar.
- Puede tener una repercusión geomagnética (no severa) debido a su posición de origen y su campo magnético helicoidal.

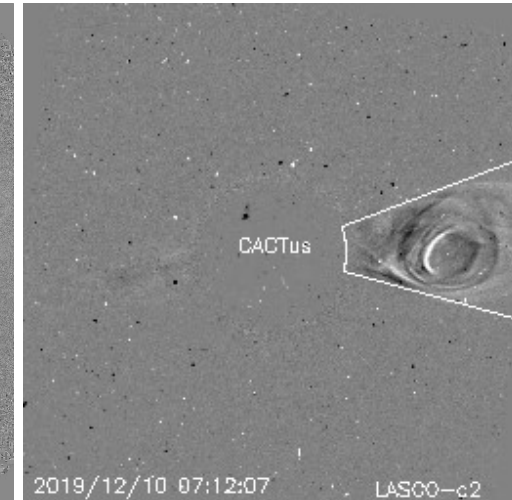
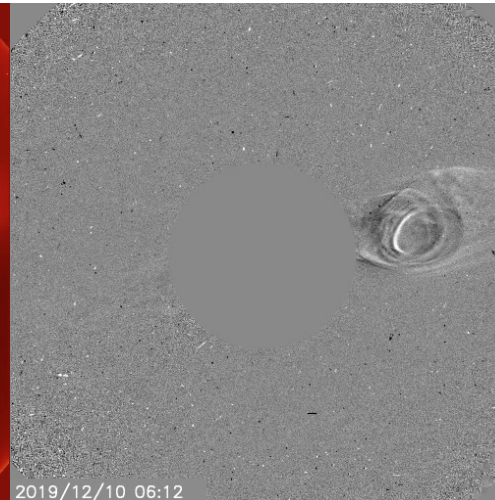
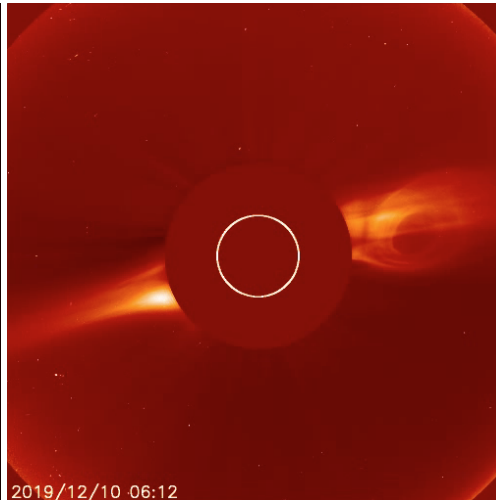
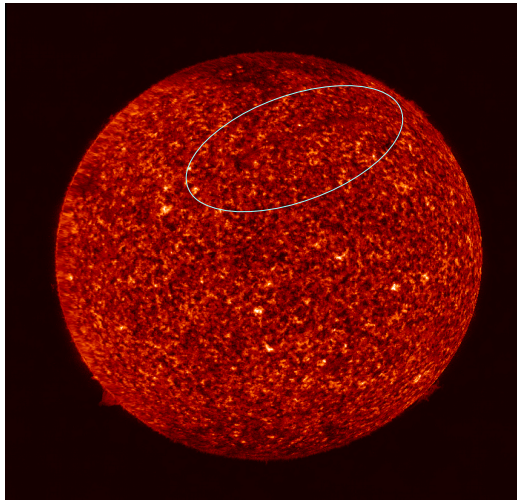
Velocidad	120 km/s
Posición angular	276°
Ancho angular	36°

(*)Valores estimados sobre la proyección en el plano del cielo y no en la dirección Sol-Tierra

AIA 304 2019-12-09T17:28:53

LASCO C2

LASCO C2
Diferencia de imágenes



Crédito imágenes y valores estimados:

SOHO, the Solar & Heliospheric Observatory

SDO, Solar Dynamic Observatory

CACTus CME catalog. SIDC at the Royal Observatory of Belgium

Jhelioviewer, ESA/NASA Helioviewer Project

Medio interplanetario: El viento solar cercano a la Tierra

Modelo numérico WSA-ENLIL.

El modelo pronostica un ambiente solar terrestre dominado por corrientes de viento solar promedio con velocidades entre 350-500 km/s. La densidad del plasma no presentará incrementos significativos. No pronostica la llegada de alguna EMC para los próximos días.

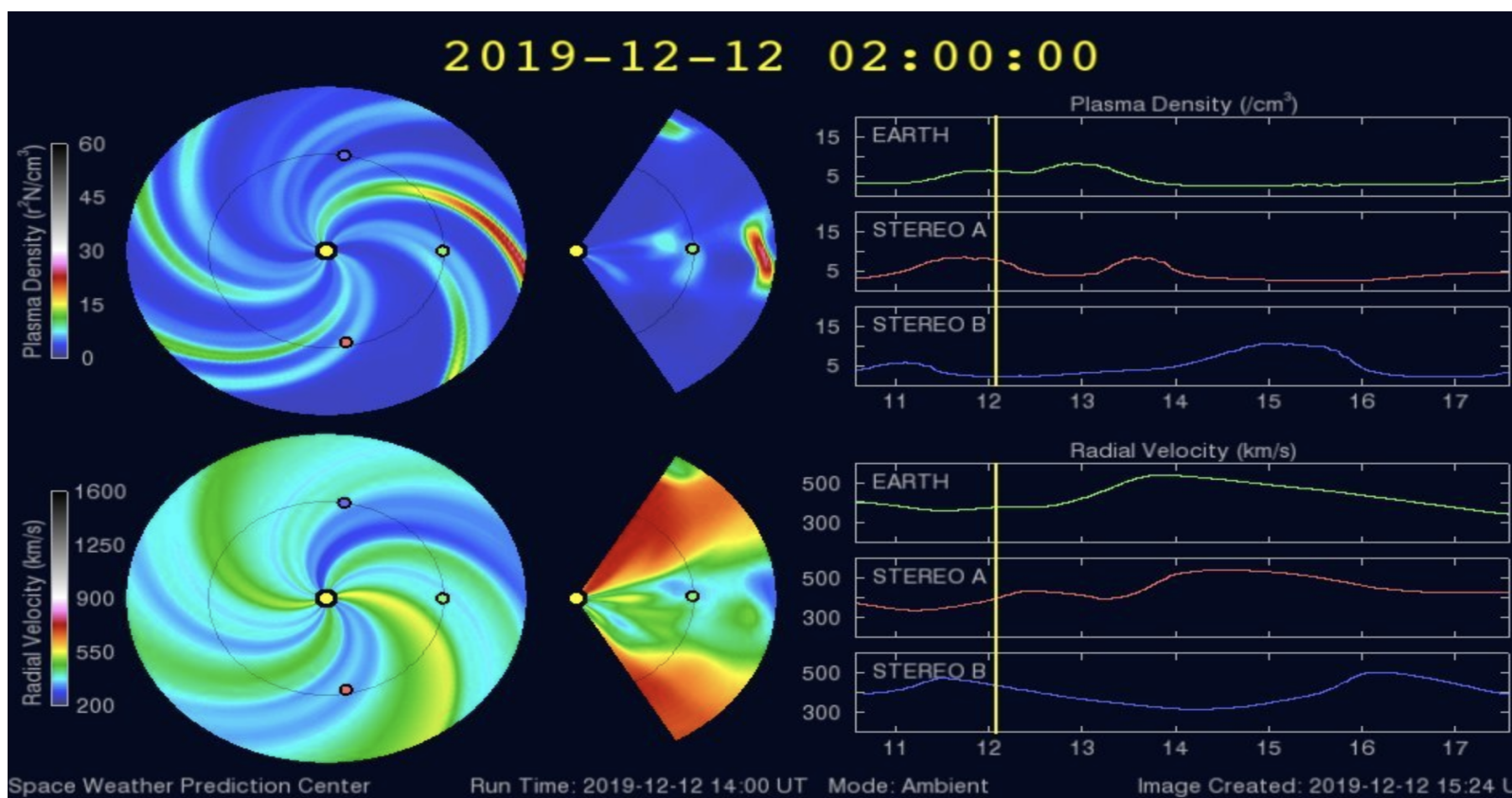
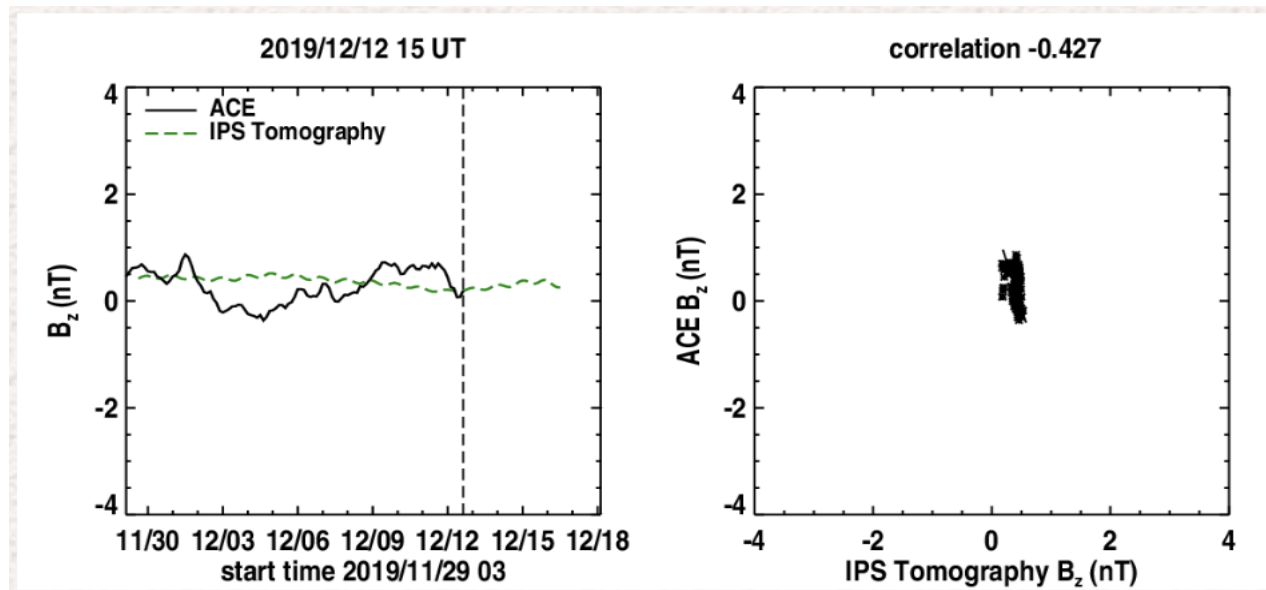


Imagen: <http://www.swpc.noaa.gov/products/wsa-enlil-solar-wind-prediction>

Medio interplanetario: Pronóstico de Bz en L1

Pronóstico de la componente Bz del viento solar cercano a la Tierra usando la tomografía con datos IPS.



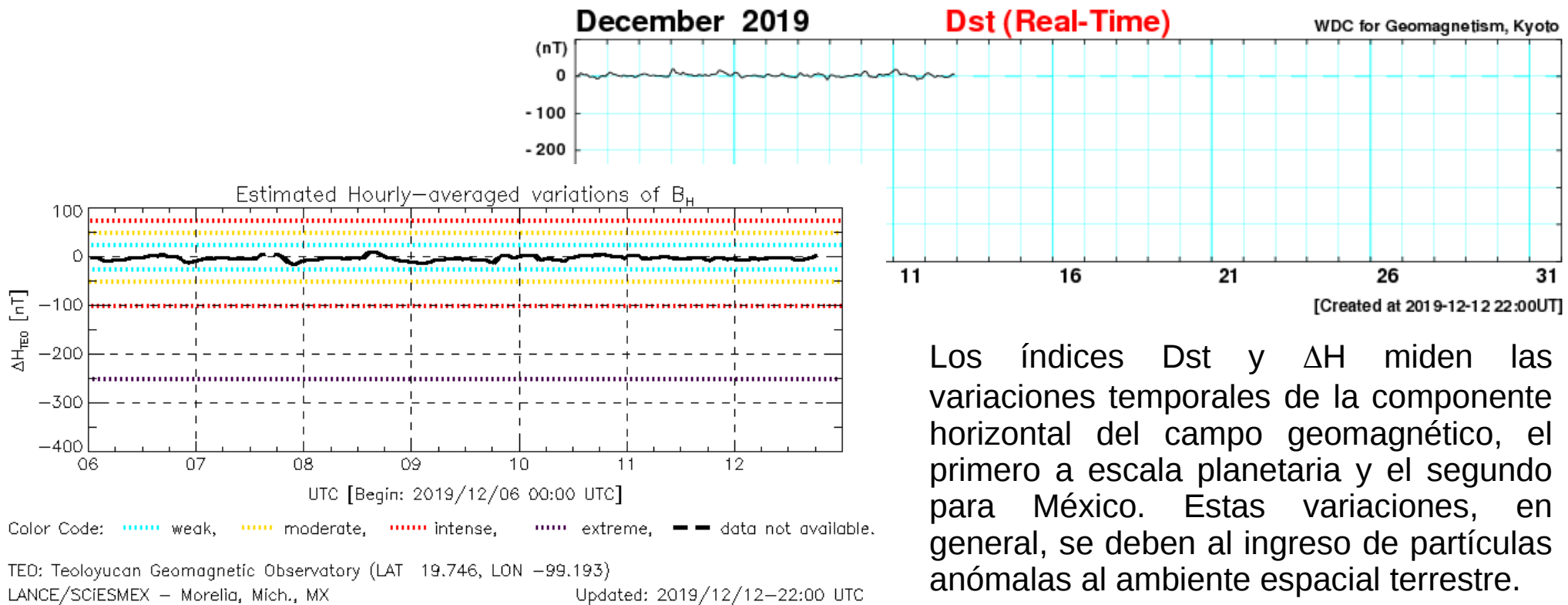
(Izquierda) Se pronostica una componente Bz positiva tendiendo a cero. **(Derecha)** La comparación con las observaciones del Advanced Composition Explorer (ACE) no indican una correlación en el último pronóstico.

Imagen: http://ips.ucsd.edu/high_resolution_predictions

Perturbaciones geomagnéticas: Índice Dst y ΔH

Fue una semana tranquila, no se registraron alteraciones significativas en los índices Dst y ΔH .

Imagen: http://wdc.kugi.kyoto-u.ac.jp/dst_realtime/presentmonth/index.html



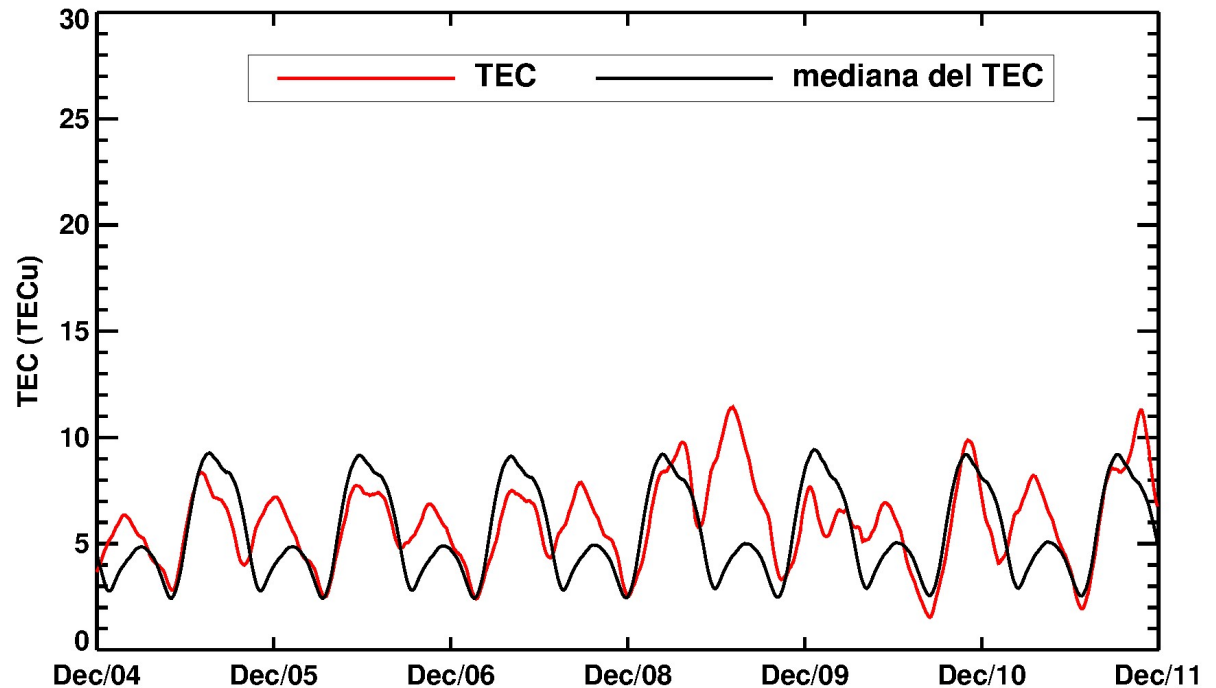
Los índices Dst y ΔH miden las variaciones temporales de la componente horizontal del campo geomagnético, el primero a escala planetaria y el segundo para México. Estas variaciones, en general, se deben al ingreso de partículas anómalas al ambiente espacial terrestre.

Ionósfera sobre México: TEC en el centro del país (datos

El contenido total de electrones (TEC) es un parámetro que sirve para caracterizar el estado de la ionosfera de la Tierra.

Serie temporal de los valores de TEC (rojo) con referencia a su valor mediano (negro) durante 04.12-10.12.2019 con base en los datos de la estación local UCOE (red TLALOCNet del Servicio de Geodesia Satelital) ubicada en las instalaciones del MEXART:

Según los datos locales, se presentaron incrementos nocturnos del TEC la mayor parte de la semana.

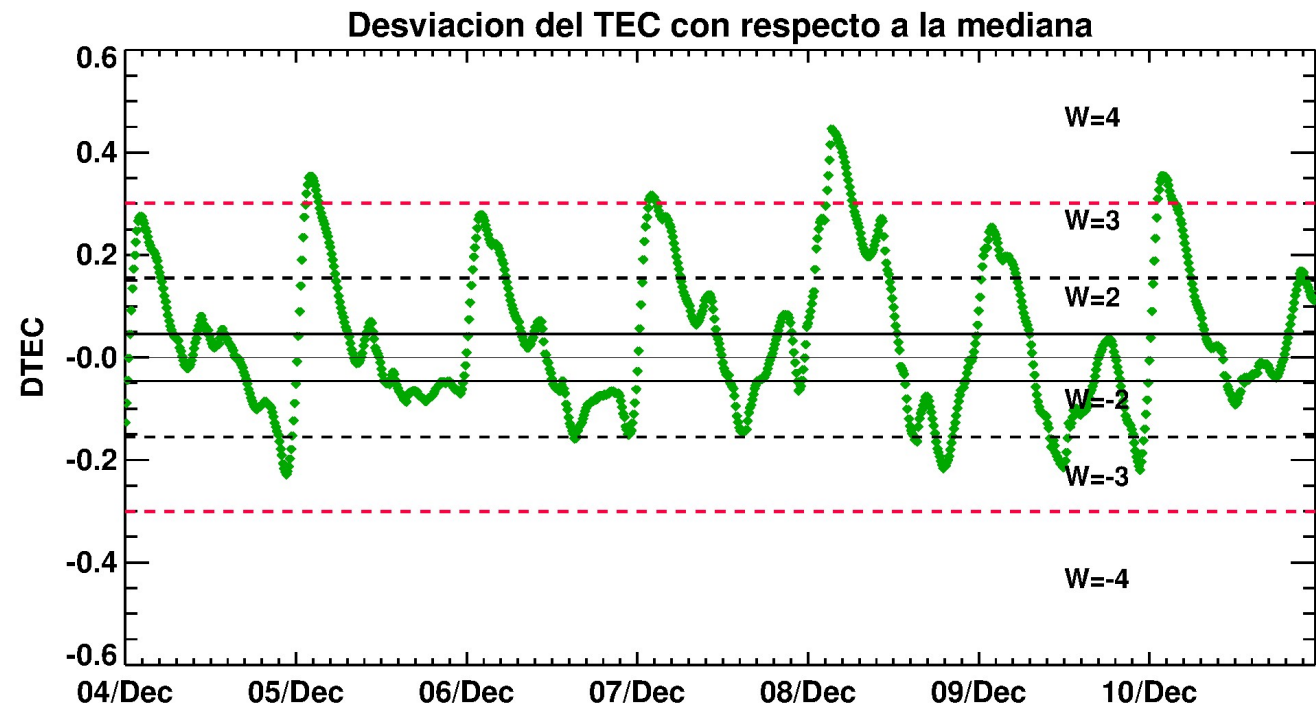


El cálculo se realiza con base del software TECMAP del Instituto de Investigaciones Espaciales de Brasil. Referencia: Takahashi H. et al.: "Ionospheric TEC Weather Map Over South America", Space Weather, 2016, 14: 937-949, doi:10.1002/2016SW001474.

Ionósfera sobre México: DTEC en el centro del país (datos locales):

Desviación del TEC de su mediana (DTEC) de los 27 días previos al día de observación e índice de clima ionosférico W durante 04.12-10.12.2019 con base en los datos de la estación GPS UCOE (red TLALOCNet del Servicio de Geodesia Satelital) ubicada en las instalaciones del Mexart :

De acuerdo con este índice, se registraron algunas perturbaciones moderadas ($W=4$) el día 5, 8 y 10 de diciembre.

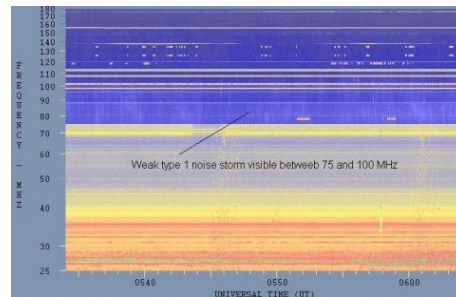


Referencia: Gulyaeva, Arikan, Hernandez-Pajares, Stanislawski. GIM-TEC adaptive ionospheric weather assessment and forecast system. J. Atm. Solar-Terr. Phys., 102, doi:10.1016/j.jastp.2013.06.011, 2013.

Tipos de estallidos de radio solares

Tipo I: Estallidos cortos y banda de emisión estrecha. Ocurren en un gran número sobre un continuo de emisión. Duración de 1 s y en tormenta de horas a días.

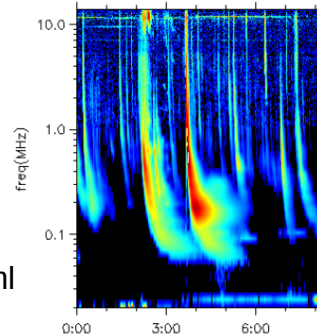
Se asocian con regiones activas, fulguraciones y protuberancias eruptivas



spaceacademy.net.au/env/sol/solradp/solradp.htm

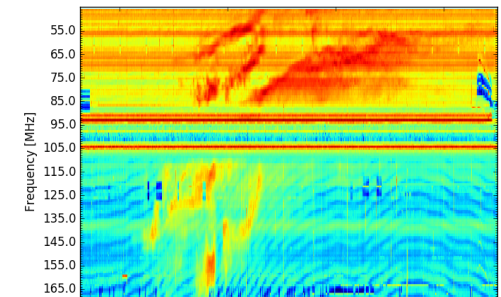
Tipo III: Estallidos de deriva rápida, con duración de pocos segundos en el rango métrico. Tienen anchos de emisión amplios. Son producidos en fulguraciones donde son expulsados a velocidades relativistas.

Se pueden presentar también como tormentas de estallidos.



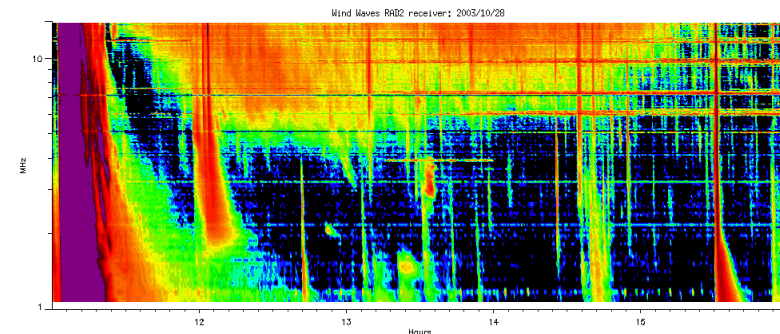
ssed.gsfc.nasa.gov/waves/data_products.html

Tipo II: Estallidos de deriva lenta. Son la firma de ondas de choque, producidas por fulguraciones o EMCs, que se propagan cerca del Sol y medio interplanetario. Presentan anchos de de emisión estrechos que derivan a frecuencias menores.



www.rice.unam.mx/callisto

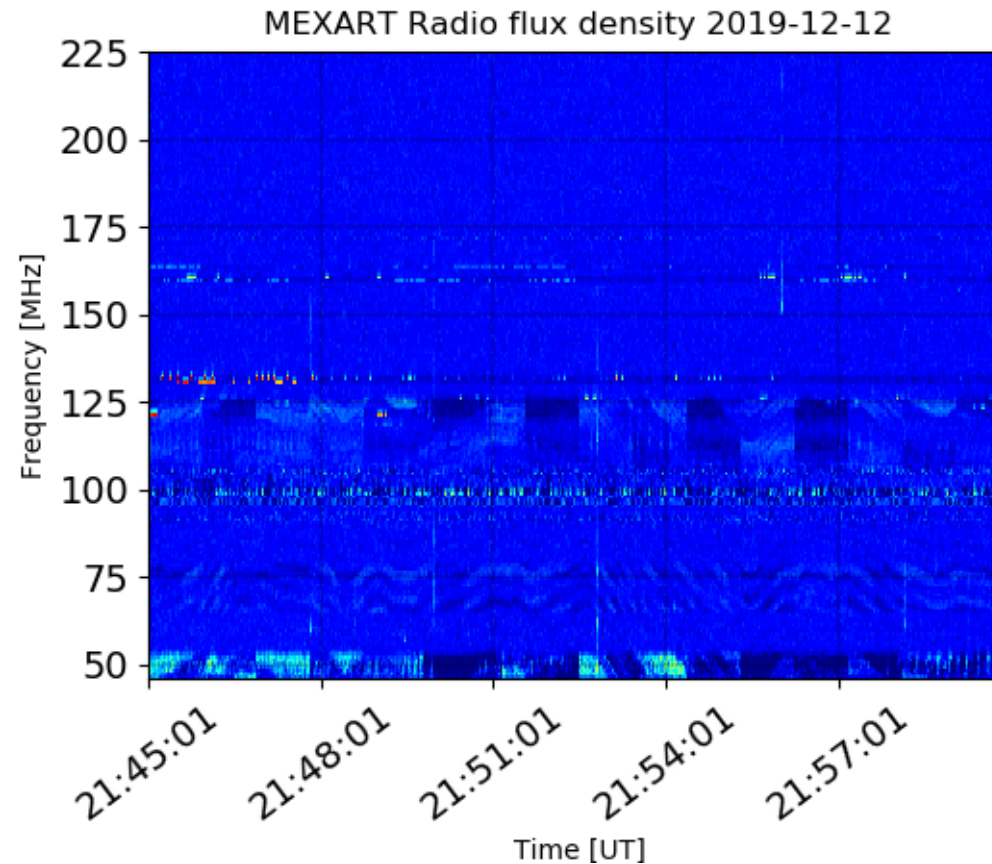
Tipo IV: Se relacionan con fulguraciones, tienen anchos de banda amplios y pueden durar horas.



https://ssed.gsfc.nasa.gov/waves/data_products.html

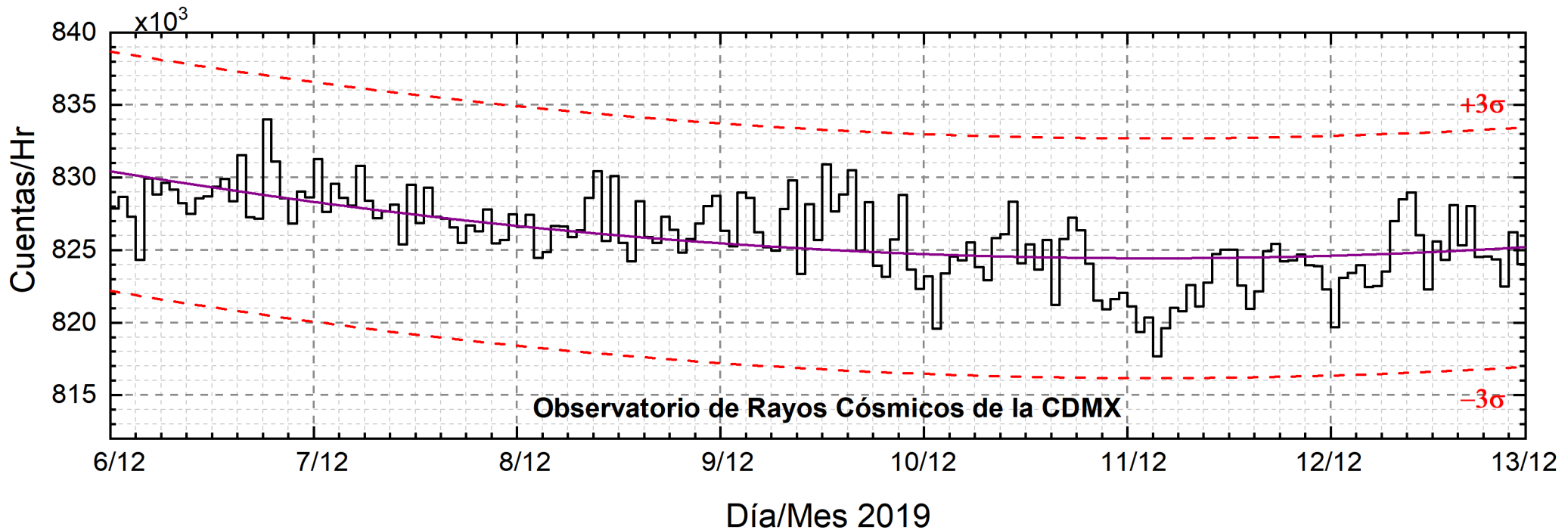
Estallidos de radio solares: Observaciones de Callisto-MEXART

Callisto-MEXART no detectó eventos esta semana.



<http://www.rice.unam.mx/callisto/lightcurve/2019/12/>

Rayos Cósmicos:



<http://www.cosmicrays.unam.mx/>

Datos del Observatorio de Rayos Cósmicos de la Ciudad de México. La curva púrpura representa el promedio de los datos registrados, las líneas discontinuas rojas representan la significación de los datos (3σ). Cuando se registran variaciones mayores a 3σ , es probable que éstas sean debidas a efectos de emisiones solares en el flujo de rayos cósmicos.

Del 06 al 12 de diciembre de 2019, no se detectaron incrementos significativos ($>3\sigma$) en las cuentas de rayos cósmicos.

UNAM/LANCE/SCIEMEX

Dr. J. Américo González Esparza

Dr. Pedro Corona Romero

Dra. Maria Sergeeva

Dr. Julio C. Mejía Ambriz

Dr. Luis Xavier González Méndez

Ing. Ernesto Andrade Mascote

M.C. Pablo Villanueva Hernández

Ing. Adán Espinosa Jiménez

Ing. Juan Luis Godoy Hernández

Dr. Ernesto Aguilar-Rodriguez

Dra. Verónica Ontiveros

Dr. José Juan González-Aviles

Dra. Tania Oyuki Chang Martínez

Ing. Juan José D'Aquino

M.C. Enrique Cruz Martínez

UNAM ENES-Morelia

Dr. Mario Rodríguez Martínez

Dr. Víctor De la Luz Rodríguez

Lic. Aranza Fernández Alvarez del
Castillo

UNAM/PCT

Lic. Elizandro Huipe

Lic. Francisco Tapia

Lic. Víctor Hugo Méndez Bedolla

M.C. Elsa Sánchez García

UANL/LANCE

Dr. Eduardo Pérez Tijerina

Dr. Enrique Pérez León

Dr. Carlos de Meneses Junior

Dra. Esmeralda Romero Hernández

UNAM/IGF/RAYOS CÓSMICOS

Dr. José Francisco Valdés Galicia

Fis. Alejandro Hurtado Pizano

Ing. Octavio Musalem Clemente

SERVICIO MAGNÉTICO

M.C. Esteban Hernández Quintero

M.C. Gerardo Cifuentes Nava

Dra. Ana Caccavari Garza

CPCET/SAET-IPN

Ing. Julio Cesar Villagrán Orihuela

Ing. Reynaldo Vite Sánchez

Alain Mirón Velázquez

Angel Alfonso Valdovinos Cordoba

Mariana Yolanda Ortiz Hernández

Pablo Romero Minchaca

Valeria García Miguel

Agradecimientos

El Laboratorio Nacional de Clima Espacial (LANCE) es parcialmente financiado por: el programa Cátedras CONACYT Proyecto 1045 y el Fondo Sectorial AEM-CONACYT proyecto 2014-01-247722. Agradecemos al proyecto Conacyt - Repositorio Institucional de Clima Espacial 268273. Agradecemos a todos los responsables y colaboradores de instrumentos del LANCE y a las redes de estaciones GPS del Servicio Sismológico Nacional y TalocNET por facilitar sus datos. Agradecemos a Gerardo Cifuentes, Esteban Hernández y Ana Caccavari por los datos del Observatorio magnético de Teoloyucan. De igual forma, agradecemos los servicios de IGS (International GNSS Service) por permitirnos usar los datos IONEX disponibles en: <ftp://cddis.gsfc.nasa.gov/pub/gps/products/ionex>. Los valores de TEC fueron obtenidos a partir de observaciones de las redes GPS del Servicio Sismológico Nacional (SSN), SSN-TLALOCNet y TLALOCNet del Servicio de Geodesia Satelital (SGS). Agradecemos al personal del SSN y del SGS por el mantenimiento de estaciones, la adquisición de datos y el soporte de IT de estas redes. Las operaciones de la red TLALOCNet y SSN-TLALOCNet GPS han sido apoyadas por The National Science Foundation bajo el proyecto EAR-1338091 a UNAVCO Inc., los proyectos CONACyT 253760 y 256012 y los proyectos UNAM-PAPIIT IN109315-3 y IN104818-3 de E. Cabral-Cano y el proyecto UNAM-PAPIIT IN111509 de R. Pérez. De igual forma agradecemos a los proyectos de infraestructura del CONACyT: 253691 y del PAPIIT-DGAPA: IA107116 para el fortalecimiento de equipos como la estación fija de GPS, que forman parte del LACIGE-UNAM, de la ENES unidad Morelia a cargo de M. Rodríguez-Martínez. El cálculo de TEC se realiza: 1) utilizando el software US-TEC que es un producto de operación del Space Weather Prediction Center (SWPC), desarrollado a través de una colaboración entre National Geodetic Survey, National Oceanic and Atmospheric Administration (NOAA) y el Cooperative Institute for Research in Environmental Sciences of the University of Boulder, Colorado, 2) con base en el software TayAbsTEC del Instituto de Física Solar-Terrestre, Sección Siberiana de la Academia de Ciencias Rusa. Parte del procesamiento de datos se lleva a cabo dentro del Centro de Supercómputo de Clima Espacial (CESCOM) del LANCE. Así mismo agradecemos al Space Weather Forecasting Center for Astrophysics & Space Research de la University of California in San Diego y al Korean Space Weather Center por los datos de pronóstico para los modelos WSA-ENLIL y los mapas tomográficos por IPS. Agradecemos a la red e-callisto por los datos proporcionados de espectros electromagnéticos dinámicos de la red internacional de registro de evento de radio solares.

Datos:

Imágenes de coronógrafo, flujo de rayos X y modelo WSA-ENLIL:

<http://www.swpc.noaa.gov/products>

<http://iswa.ccmc.gsfc.nasa.gov/IswaSystemWebApp/>

Imágenes de coronógrafo:

<http://sohowww.nascom.nasa.gov/data/>

Imágenes del disco solar y de la fulguración:

<http://www.solarmonitor.org/>

Detección y caracterización de EMCs:

<http://www.sidc.oma.be/cactus/out/latestCMEs.html>

<http://spaceweather.gmu.edu/seeds/>

ISES:

<http://www.spaceweather.org/>

International Network of Solar Radio Spectrometers (e-callisto):

<http://www.e-callisto.org/>

German Research Center For Geociencias Postdam:

<http://www.gfz-potsdam.de/en/sektion/erdmagnetfeld/daten-dienste/kp-index/>

Data Analysis Center for Geomagnetism and Space Magnetism, Kyoto University:

<http://wdc.kugi.kyoto-u.ac.jp/index.html>

UNAVCO:

<http://www.unavco.org>

SSN:

<http://www.sismologico.unam.mx/>

SOHO Spacecraft NASA:

<http://sohowww.nascom.nasa.gov/>

SDO Spacecraft NASA:

<http://sdo.gsfc.nasa.gov/>

Space Weather Prediction Center NOAA:

<http://www.swpc.noaa.gov>

GOES Spacecraft NOAA:

<http://www.ngdc.noaa.gov/stp/satellite/goes/index.html>

ACE Spacecraft NOAA

<http://www.srl.caltech.edu/ACE/ASC/index.html>